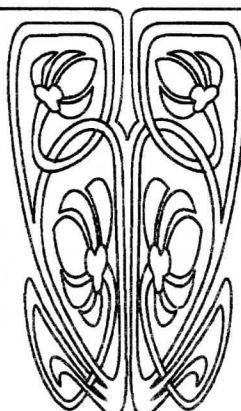


**НАУЧНЫЙ  
ОТДЕЛ**



# МЕХАНИКА

УДК 593.3

## АСИМПТОТИЧЕСКИЕ МЕТОДЫ ПОСТРОЕНИЯ РЕШЕНИЙ В ОКРЕСТНОСТЯХ ФРОНТОВ ВОЛН В ВЯЗКОУПРУГОМ СТЕРЖНЕ ПРИ БОЛЬШИХ ЗНАЧЕНИЯХ ВРЕМЕНИ

**Н.С. Анофрикова, Л.Ю. Коссович, В.П. Черненко**

Саратовский государственный университет,  
кафедра математической теории упругости и биомеханики  
E-mail: rector@sgu.ru

Рассматривается задача о распространении нестационарных продольных волн в вязкоупругом стержне при больших значениях времени. С помощью асимптотических методов выводятся уравнения погранслоев в окрестностях фронтов волн с длительной и мгновенной скоростями, строятся их решения.

**Asymptotic methods for obtained solutions in vicinities of wave fronts  
in viscoelastic rod at large time**

**N.S. Anofrikova, L.Yu. Kossovich, V.P. Chernenko**

Non-stationary longitudinal waves in viscoelastic rod at large time are considered. Equations for the wave fronts are derived by means of asymptotic methods. Solutions of these equations are obtained.

### 1. Постановка задачи

Рассмотрим тонкий вязкоупругий полубесконечный стержень цилиндрической формы. Вязкоупругие свойства материала будем описывать с помощью определяющих соотношений, взятых в интегрально-операторной форме [1]. Пусть стержень подвергается ударному торцевому воздействию. Краевая задача, описывающая данный тип воздействия, имеет вид

$$\begin{aligned} \frac{\partial \sigma(x,t)}{\partial x} - \rho \frac{\partial^2 u(x,t)}{\partial t^2} &= 0, \\ \frac{\partial u(x,t)}{\partial x} &= \frac{1}{E} \left[ \sigma(x,t) + \int_0^t K(t-t_*) \sigma(x,t) dt_* \right], \end{aligned} \quad (1.1)$$

с граничным условием

$$\sigma(0,t) = IH(t) \quad (1.2)$$

и начальными условиями

$$\sigma(x,0) = 0, \quad \frac{\partial \sigma(x,0)}{\partial t} = 0, \quad (1.3)$$

где  $u$  – перемещение,  $\sigma$  – напряжение,  $x$  – продольная координата,



$t$  – время,  $\rho$  – плотность материала,  $I$  – амплитуда воздействия,  $E$  – мгновенный модуль упругости,  $H(t)$  – единичная функция Хевисайда,  $K(t - t_*)$  – разностное ядро ползучести Работнова, которое имеет вид

$$K(t) = kt^{-1/2} \sum_{n=0}^{\infty} \frac{(-\beta)^n t^{n/2}}{[(n+1)/2]}, \quad (1.4)$$

где  $\beta > 0$ ,  $k > 0$  – параметры материала.

Подставляя второе уравнение системы (1.1) в первое уравнение той же системы, получим следующее разрешающее уравнение относительно напряжения:

$$\frac{\partial^2 \sigma}{\partial x^2} - \frac{\rho}{E} \frac{\partial^2 \sigma}{\partial t^2} - \frac{\rho}{E} \frac{\partial^2}{\partial t^2} \int_0^t K(t-t_*) \sigma(x, t_*) dt_* = 0. \quad (1.5)$$

В уравнении (1.5) перейдем к безразмерным переменным по формулам

$$x = cT_k \xi, t = T_k \tau, u = cT_k u^*, \sigma = E\sigma^*, \quad (1.6)$$

где  $c = \sqrt{E/\rho}$  – мгновенная скорость,  $T_k = 1/k^2$  – масштабный множитель, имеющий размерность времени. Получим разрешающее уравнение в следующем виде:

$$\frac{\partial^2 \sigma^*}{\partial \xi^2} - \frac{\partial^2 \sigma^*}{\partial \tau^2} - \frac{\partial^2}{\partial \tau^2} \int_0^\tau K_*(\tau - \tau_*) \sigma(\xi, \tau_*) d\tau_* = 0, \quad (1.7)$$

$$K_*(\tau) = \tau^{-1/2} \sum_{n=0}^{\infty} \frac{(-\beta_*)^n \tau^{n/2}}{[(n+1)/2]}, \quad \beta_* = T_k^{1/2} \beta.$$

В дальнейшем для простоты опустим звездочки у безразмерных величин.

Анализ свойств решений для нестационарных волн показывает, что напряженно-деформированное состояние (НДС) для фиксированного времени  $\tau = \text{const} \gg 1$  можно расчленить на четыре зоны применимости различных типов асимптотик (рис. 1): I – зона квазиупругого решения, II – погранслой в окрестности фронта волны с длительной скоростью  $c_\infty = (1 + k/\beta)^{-1/2}$  с (квазифронт), III – зона малоамплитудного решения, IV – погранслой в окрестности фронта волны с мгновенной скоростью  $c$  [2].

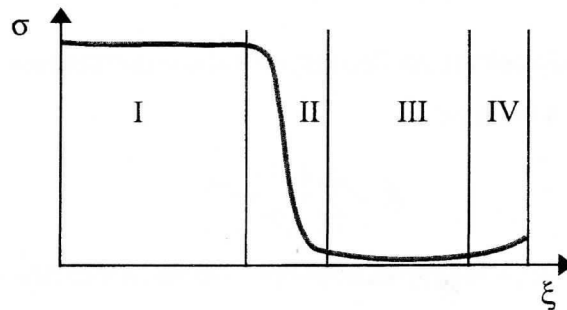


Рис. 1

В статье [2] точное решение исходной краевой задачи (1.1)–(1.3) было получено с помощью интегрального преобразования Лапласа. Обращение изображения производилось путём



деформирования первоначального контура интегрирования, в результате чего был получен следующий оригинал решения:

$$\sigma = \frac{I}{E} \left\{ 1 - \frac{1}{\pi} \int_0^\infty \frac{1}{p} \exp \left[ -p\tau + \frac{p\xi}{\sqrt{2}} \left( \frac{p + \beta(\beta+1) + ((p+\beta^2)(p+(\beta+1)^2))^{1/2}}{p+\beta^2} \right)^{1/2} \right] \times \right. \\ \left. \times \sin \left[ \frac{p\xi}{\sqrt{2}} \left( \frac{-p - \beta(\beta+1) + ((p+\beta^2)(p+(\beta+1)^2))^{1/2}}{p+\beta^2} \right)^{1/2} \right] dp \right\}. \quad (1.8)$$

## 2. Уравнение погранслоя в окрестности фронта волны с длительной скоростью

Получим уравнение погранслоя в окрестности фронта волны с длительной скоростью (зона II, см. рис. 1). Дадим определение дробной производной  $D^\gamma u$  от функции  $u$  порядка  $\gamma$  [3]:

$$D^\gamma u = \begin{cases} \frac{d}{d\tau} \int_0^\tau \frac{u(\tau_*)}{\Gamma(1-\gamma)(\tau-\tau_*)^\gamma} d\tau_*, & 0 \leq \gamma < 1 \\ \frac{d^n}{d\tau^n} \int_0^\tau \frac{u(\tau_*)}{\Gamma(n-\gamma)(\tau-\tau_*)^{\gamma-n+1}} d\tau_*, & \gamma > 1 \end{cases} \quad (2.1)$$

и формулу для преобразования Лапласа дробных производных:

$$\bar{D}^\gamma u = s^\gamma \bar{u}, \quad (2.2)$$

где  $s$  – параметр преобразования Лапласа по переменной  $\tau$ , черта означает изображение соответствующей функции.

Запишем уравнение (1.7) в изображениях Лапласа по переменной  $\tau$ :

$$\frac{d^2 \bar{\sigma}}{d\xi^2} - s^2 \bar{\sigma} - s^2 \bar{K} \bar{\sigma} = 0, \quad (2.3)$$

где  $\bar{\sigma}$ ,  $\bar{K} = (\beta + \sqrt{s})^{-1}$  – изображения по Лапласу  $\sigma$  и  $K$  соответственно [1]. Представим изображение разностного ядра  $\bar{K}$  в виде ряда:

$$\bar{K} = \sum_{n=0}^{\infty} \frac{(-1)^n}{\beta^n} s^{n/2}. \quad (2.4)$$

Возвращаясь в уравнении (2.3) к функциям-оригиналам и учитывая формулу (2.2) для изображения (2.4), получим

$$\frac{\partial^2 \sigma}{\partial \xi^2} - \frac{1}{k_c^2} \frac{\partial^2 \sigma}{\partial \tau^2} - \frac{1}{\beta} \frac{\partial^2}{\partial \tau^2} \left[ \sum_{n=1}^{\infty} \frac{(-1)^n}{\beta^n} D^{n/2} \sigma \right] = 0, \quad (2.5)$$

где  $k_c^2 = \beta/(\beta+1)$ .



Рассмотрим данную задачу при больших значениях времени, т.е. когда  $\tau \gg 1$ . Вводим масштабированные переменные в соответствии с характерным масштабным временем  $T \gg 1$ , т.е.

$$\tau = T\tau_T, \xi = T\xi_T, \quad (2.6)$$

где  $\tau_T$  и  $\xi_T$  – величины порядка единицы. Тогда разрешающее уравнение (2.5) относительно напряжения примет вид

$$\frac{\partial^2 \sigma}{\partial \xi_T^2} - \frac{1}{k_c^2} \frac{\partial^2 \sigma}{\partial \tau_T^2} - \frac{1}{\beta} \frac{\partial^2}{\partial \tau_T^2} \left[ \sum_{n=1}^{\infty} \frac{(-1)^n}{\beta^n} \frac{1}{T^{n/2}} D_T^{n/2} \sigma \right] = 0, \quad (2.7)$$

где  $D_T$  – оператор производной по переменной  $\tau_T$ .

Введём в рассмотрение характеристические переменные

$$y = T^{1/3} (\tau_T - \xi_T/k_c), \quad \tau_1 = \tau_T. \quad (2.8)$$

Тогда уравнение (2.7) в характеристических переменных примет вид

$$2 \frac{\partial^2 \sigma}{\partial y \partial \tau_1} + \frac{1}{T^{1/3}} \frac{\partial^2 \sigma}{\partial \tau_1^2} + \frac{k_c^2}{\beta} \left( \frac{\partial^2}{\partial y^2} + \frac{2}{T^{1/3}} \frac{\partial^2}{\partial y \partial \tau_1} + \frac{1}{T^{2/3}} \frac{\partial^2}{\partial \tau_1^2} \right) \left[ \sum_{n=1}^{\infty} \frac{(-1)^n}{\beta^n} \frac{1}{T^{(n-1)/3}} \left( \frac{D_T}{T^{1/3}} \right)^{n/2} \sigma \right] = 0. \quad (2.9)$$

Оставляя в уравнении (2.9) члены порядка  $O(1/T^{1/3})$  и преобразуя асимптотически второ-степенные члены с учётом соотношения между асимптотически главными, получим

$$2 \frac{\partial^2 \sigma}{\partial y \partial \tau_1} - \frac{1}{\beta(\beta+1)} \left( \frac{\partial^2}{\partial y^2} + \frac{3}{2T^{1/3}} \frac{\partial^2}{\partial y \partial \tau_1} \right) \left( \frac{D_T}{T^{1/3}} \right)^{1/2} \sigma + \frac{1}{\beta^2(\beta+1)} \frac{1}{T^{1/3}} \frac{\partial^2}{\partial y^2} \left( \frac{D_T}{T^{1/3}} \right)^{1/2} \sigma = 0. \quad (2.10)$$

Интегрируя (2.10) по  $y$  и возвращаясь к масштабированным переменным (2.6), получим следующее соотношение:

$$k_c \frac{\partial \sigma}{\partial \xi_T} + \frac{\partial \sigma}{\partial \tau_T} - \frac{1}{2\beta(\beta+1)} \left( \frac{k_c}{2} \frac{\partial}{\partial \xi_T} + \frac{3}{2} \frac{\partial}{\partial \tau_1} \right) \frac{1}{T^{1/2}} D_T^{1/2} \sigma + \frac{1}{2\beta^2(\beta+1)} \frac{1}{T} \frac{\partial}{\partial \tau_T} D_T \sigma = 0. \quad (2.11)$$

Возвращаясь в соотношении (2.11) к переменным  $\xi$  и  $\tau$ , записывая его без дробных производных с учётом (2.1), получим уравнение погранслоя в окрестности фронта волны с длительной скоростью:

$$k_c \frac{\partial \sigma}{\partial \xi} + \frac{\partial \sigma}{\partial \tau} + \frac{1}{2\beta^2(\beta+1)} \frac{\partial^2 \sigma}{\partial \tau^2} - \frac{k_c}{4\beta(\beta+1)\sqrt{\pi}} \frac{\partial}{\partial \tau} \int_0^\tau \frac{1}{(\tau - \tau_*)^{1/2}} \frac{\partial \sigma}{\partial \xi} d\tau_* - \\ - \frac{3}{4\beta(\beta+1)\sqrt{\pi}} \frac{\partial^2}{\partial \tau^2} \int_0^\tau \frac{\sigma d\tau_*}{(\tau - \tau_*)^{1/2}} = 0. \quad (2.12)$$

Порядок уравнения (2.12) на единицу меньше порядка точного уравнения (1.7). Кроме того, вместо ядра Работнова (уравнение (1.7)) мы имеем более простое ядро Абеля (уравнение (2.12)).



Решая уравнение (2.12) с помощью интегрального преобразования Лапласа по переменной  $\tau$ , получим следующее выражение для изображения напряжения:

$$\bar{\sigma} = I^* \frac{1}{s} \exp \left( -\frac{s}{k_c} \frac{1 - \frac{3\sqrt{s}}{4\beta(\beta+1)} + \frac{s}{2\beta^2(\beta+1)}}{1 - \frac{\sqrt{s}}{4\beta(\beta+1)}} \xi \right), \quad (2.13)$$

где  $I^* = I/E$ .

Раскладывая показатель степени экспоненты в выражении (2.13) в ряд по положительным степеням параметра  $s$  и ограничиваясь двумя членами разложения, получим окончательное выражение для изображения напряжения:

$$\bar{\sigma} = I^* \frac{1}{s} \exp \left[ -\frac{1}{k_c} \left( s - \frac{s^{3/2}}{2\beta(\beta+1)} + \frac{4\beta+3}{8\beta^2(\beta+1)^2} s^2 \right) \xi \right]. \quad (2.14)$$

С помощью метода контурного интегрирования [2] получаем следующий оригинал изображения (2.14):

$$\begin{aligned} \sigma &= I^* \left[ 1 - \frac{1}{\pi} \int_0^\infty \frac{1}{p} \exp \left[ - \left( \left( \tau - \frac{\xi}{k_c} \right) p + B\xi p^2 \right) \right] \sin(A\xi p^{3/2}) dp \right], \\ A &= \frac{1}{2\beta(\beta+1)k_c}, \quad B = \frac{4\beta+3}{8\beta^2(\beta+1)^2 k_c}. \end{aligned} \quad (2.15)$$

Решение (2.15) уравнения погранслоя в окрестности фронта волны с длительной скоростью (2.12) совпадает с асимптотикой точного решения (1.8) в зоне II, полученной в [2].

На рис. 2 представлены графики зависимости приведенных значений напряжения  $\sigma/I^*$  от продольной координаты  $\xi$  для  $\tau = 100$ ,  $\beta = 1$ . Сплошная линия соответствует графику точного решения (формула (1.8)), пунктирная линия – графику приближенного решения (формула (2.15)).

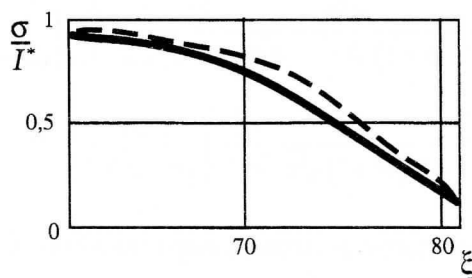


Рис. 2



### 3. Уравнение погранслоя в окрестности фронта волны с мгновенной скоростью

Получим уравнение погранслоя в окрестности фронта волны с мгновенной скоростью (зона IV, см. рис. 1). Данную задачу будем также рассматривать при больших значениях времени, т.е. когда  $\tau \gg 1$ . Введем в уравнении (1.7) масштабированные переменные (2.6) в соответствии с характерным масштабным временем  $T \gg 1$ . Тогда разрешающее уравнение (1.7) запишется в виде

$$\frac{1}{T^2} \left( \frac{\partial^2 \sigma}{\partial \xi_T^2} - \frac{\partial^2 \sigma}{\partial \tau_T^2} \right) - \frac{1}{T} \frac{\partial^2}{\partial \tau_T^2} \int_0^{\xi_T} K[T(\tau_T - \tau_T^*)] \sigma(T\xi_T, T\tau_T^*) d\tau_T^* = 0. \quad (3.1)$$

Введём в рассмотрение функцию

$$\Phi(\xi_T, \tau_T) = T^2 \int_0^{\tau_T} K[T(\tau_T - \tau_T^*)] \sigma(\xi_T, \tau_T^*) d\tau_T^*. \quad (3.2)$$

Интеграл в соотношении (3.2) равен нулю в пределах от 0 до  $\xi_T$ , так как для соответствующих значений времени фронт волны ещё не дошёл до рассматриваемой точки. Величина этого интеграла пропорциональна величине промежутка  $(\xi_T, \tau_T)$ , имеющего порядок  $O(1/T)$ , следовательно интеграл также имеет порядок  $O(1/T)$ .

Введём характеристические переменные

$$y = T(\tau_T - \xi_T), \quad \tau_1 = \tau_T. \quad (3.3)$$

Уравнение (3.1) в характеристических переменных примет вид

$$2 \frac{\partial^2 \sigma}{\partial y \partial \tau_1} + \frac{1}{T} \frac{\partial^2 \sigma}{\partial \tau_1^2} + \frac{\partial^2 \Phi}{\partial y^2} + \frac{2}{T} \frac{\partial^2 \Phi}{\partial y \partial \tau_1} + \frac{1}{T^2} \frac{\partial^2 \Phi}{\partial \tau_1^2} = 0, \quad (3.4)$$

Оставляя в уравнении (3.4) члены порядка  $O(1/T)$  и преобразуя асимптотически второстепенные члены с учётом соотношения между асимптотически главными, получим

$$\frac{\partial^2 \sigma}{\partial y \partial \tau_1} + \frac{3}{4T} \frac{\partial^2 \Phi}{\partial y \partial \tau_1} + \frac{1}{2} \frac{\partial^2 \Phi}{\partial y^2} = 0. \quad (3.5)$$

Интегрируя (3.5) по  $y$  и возвращаясь к масштабированным переменным (2.6), получим следующее соотношение:

$$\frac{\partial \sigma}{\partial \xi_T} + \frac{\partial \sigma}{\partial \tau_T} + \frac{1}{4T} \frac{\partial \Phi}{\partial \xi_T} + \frac{3}{4T} \frac{\partial \Phi}{\partial \tau_T} = 0. \quad (3.6)$$

Разложим разностное ядро Работнова в ряд по степеням  $(\tau_T - \tau_T^*)$  внутри малого промежутка  $(\xi_T, \tau_T)$ :

$$K(\tau_T - \tau_T^*) = \frac{1}{T^{1/2} \sqrt{\pi} (\tau_T - \tau_T^*)^{1/2}} - \beta + O\left[T^{1/2} (\tau_T - \tau_T^*)^{1/2}\right]. \quad (3.7)$$

Возвращаясь в соотношении (3.6) к переменным  $\xi$  и  $\tau$ , учитывая асимптотику (3.7), получим уравнение погранслоя в окрестности фронта волны с мгновенной скоростью:

$$\frac{\partial \sigma}{\partial \xi} + \frac{\partial \sigma}{\partial \tau} - \frac{\beta}{4} \int_0^\tau \frac{\partial \sigma}{\partial \xi} d\tau_* - \frac{3\beta}{4} \sigma + \frac{1}{4\sqrt{\pi}} \int_0^\tau \frac{1}{(\tau - \tau_*)^{1/2}} \frac{\partial \sigma}{\partial \xi} d\tau_* + \frac{3}{4\sqrt{\pi}} \frac{\partial}{\partial \tau} \int_0^\tau \frac{1}{(\tau - \tau_*)^{1/2}} \sigma d\tau_* = 0. \quad (3.8)$$



Порядок уравнения (3.8) на единицу меньше порядка точного уравнения (1.7). Кроме того, вместо ядра Работнова (уравнение (1.7)) мы имеем более простое ядро Абеля (уравнение (3.8)).

Решая уравнение (3.8) с помощью интегрального преобразования Лапласа по переменной  $\tau$ , получим следующее выражение для изображения напряжения:

$$\bar{\sigma} = I^* \frac{1}{s} \exp \left( -s \frac{1 + \frac{3}{4\sqrt{s}} - \frac{3\beta}{4s}}{1 + \frac{1}{4\sqrt{s}} - \frac{\beta}{4s}} \xi \right). \quad (3.9)$$

Раскладывая показатель степени экспоненты в выражении (3.9) в ряд по отрицательным степеням параметра  $s$  и ограничиваясь двумя членами разложения, получим окончательное выражение для изображения напряжения:

$$\bar{\sigma} = I^* \frac{1}{s} \exp \left[ - \left( s + \frac{\sqrt{s}}{2} \right) \xi \right] \exp \left[ \left( \frac{\beta}{2} + \frac{1}{8} \right) \xi \right]. \quad (3.10)$$

Пользуясь таблицей преобразования Лапласа [4], получим следующий оригинал изображения (3.10):

$$\sigma = I^* \exp \left[ - \left( \frac{\beta}{2} + \frac{1}{8} \right) \xi \right] \operatorname{erfc} \left( \frac{\xi}{4\sqrt{\tau - \xi}} \right), \quad (3.11)$$
$$\operatorname{erfc}(x) = \frac{2}{\sqrt{\pi}} \int_x^\infty \exp(-t^2) dt.$$

Получившееся решение (3.11) уравнения погранслоя в окрестности фронта волны с мгновенной скоростью (3.8) совпадает с асимптотикой точного решения (1.8) в зоне IV, полученной в [3].

На рис. 3 представлены графики зависимости приведенных значений напряжения  $\sigma/I^*$  от продольной координаты  $\xi$  для  $\tau = 10$ ,  $\beta = 1,25$ . Сплошная линия соответствует графику точного решения (формула (1.8)), пунктирная линия – графику приближенного решения (формула (3.11)).

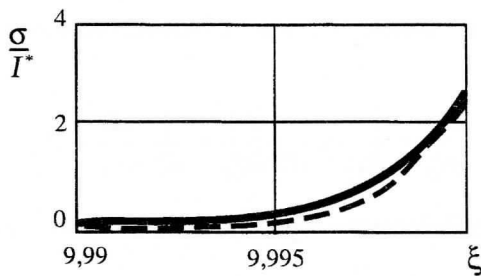


Рис. 3

## Библиографический список

1. Работнов Ю.Н. Элементы наследственной механики твердых тел. М., 1974.
2. Коссович Л.Ю., Сухоловская М.С. Решение задачи о нестационарных продольных волнах в тонком вязкоупругом стержне // Механика деформируемых сред: Межвуз. науч. сб. Саратов, 2002. Вып. 14. С. 93–98.
3. Rossikhin, Shitikova. Applications of fractional calculus to dynamic problems // Appl. Mech. Rev. 1997. V. 50, № 1. С. 16–18.
4. Справочник по специальным функциям с формулами, графиками и таблицами. М., 1979.